

# **第四章 电力系统稳定分析**

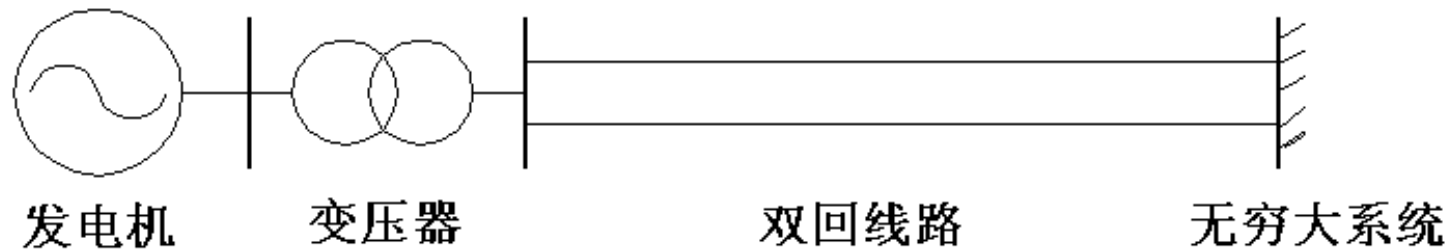
## **第十四讲 静态稳定分析 (Steady Stability Analysis )**

# 问题

- 1、单机无穷大系统的数学模型、平衡点？
- 2、电力系统稳定性的基本含义？
- 3、什么是静态稳定？
- 4、静态稳定的分析方法？
- 5、单机无穷大系统静态稳定的判据？
- 6、大型电力系统的静态稳定性如何分析？
- 7、哪些措施可以提高系统的静态稳定性？

# 2.1 电力系统的数学模型

## 单机无穷大系统的数学模型



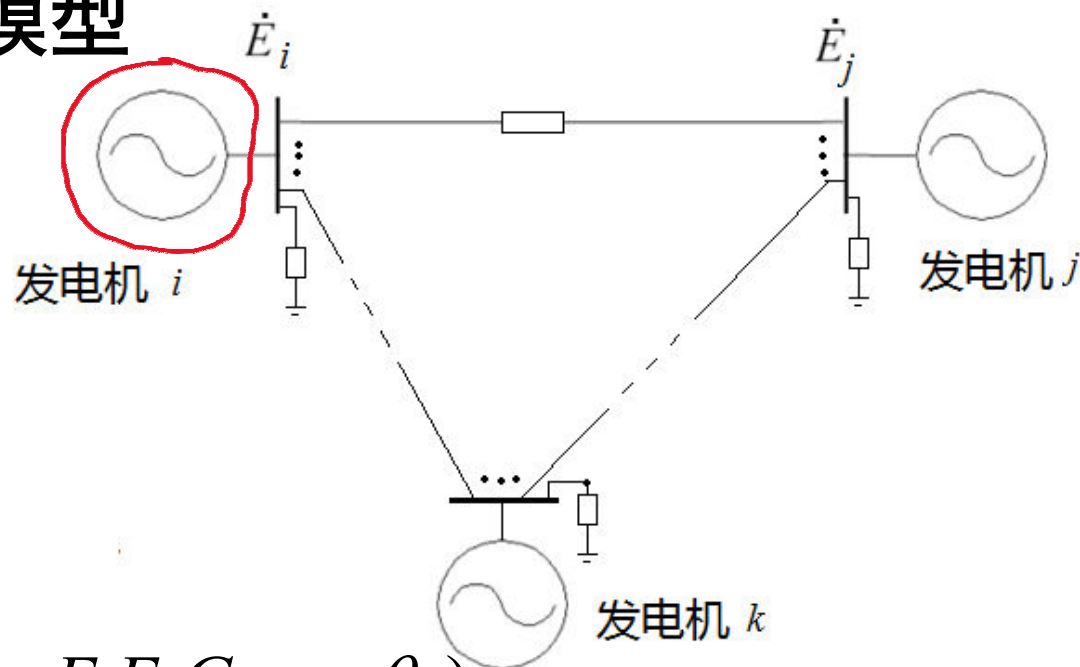
$$\begin{cases} U_d = X_{q\Sigma} I_q \\ U_q = -X_{d\Sigma} I_d + E_q = -X'_{d\Sigma} I_d + E'_q \\ E'_q = (X'_{d\Sigma} - X_{d\Sigma}) I_d + E_q \end{cases}$$

$$\begin{cases} \frac{d\delta}{dt} = (\omega - 1)\omega_0 \\ T_j \frac{d\omega}{dt} = P_m - P_e \end{cases} \quad P_m = \text{常数?} , \quad P_e = ? = \begin{cases} \frac{E_q U}{X_{d\Sigma}} \sin \delta + \frac{U^2}{2} \left( \frac{1}{X_{q\Sigma}} - \frac{1}{X_{d\Sigma}} \right) \sin 2\delta \\ \frac{E'_q U}{X'_{d\Sigma}} \sin \delta + \frac{U^2}{2} \left( \frac{1}{X_{q\Sigma}} - \frac{1}{X'_{d\Sigma}} \right) \sin 2\delta \\ \frac{E' U}{X'_{d\Sigma}} \sin \delta (\text{近似}) \end{cases}$$

# 多机系统的数学模型

## 机电暂态稳定性分析常用模型

$$\begin{cases} M_i \frac{d\omega_i}{dt} = P_{mi} - P_{ei} \\ \frac{d\delta_i}{dt} = \omega_0 (\omega_i - 1) \end{cases}$$



$$P_{ei} = E_i^2 G_{ii} + \sum_{\substack{j=1 \\ j \neq i}}^n (E_i E_j B_{ij} \sin \theta_{ij} + E_i E_j G_{ij} \cos \theta_{ij})$$

$$Q_{ei} = ?, \quad \dot{E}'_i = E'_i \angle \delta_i = E_i \angle \theta_i + jX'_{di} \dot{I}_i$$

$$\theta_{ij} = \theta_i - \theta_j, i, j = 1, 2, \dots, n$$

$1, 2, \dots, n-1$  为PV节点,  $n$  为平衡节点

## 2.2 电力系统的平衡点

### 一、单机无穷大系统的平衡点

$$\begin{cases} U_d = X_{q\Sigma} I_q \\ U_q = -X_{d\Sigma} I_d + E_q = -X'_{d\Sigma} I_d + E'_q \\ E'_q = (X'_{d\Sigma} - X_{d\Sigma}) I_d + E_q \end{cases}$$

$$\begin{cases} \frac{d\delta}{dt} = (\omega - 1)\omega_0 & P_m = \text{常数}, P_e = \frac{E_q U}{X} \sin \delta \\ T_j \frac{d\omega}{dt} = P_m - P_e \end{cases}$$

平衡点

$$\begin{cases} \frac{d\delta}{dt} = 0 \\ \frac{d\omega}{dt} = 0 \end{cases}$$

$$\begin{cases} \omega_e = 1 \\ \delta_e = \sin^{-1} \frac{P_m X}{E_q U} \dots \end{cases}$$

## 二、多机系统的平衡点

$$\left\{ \begin{array}{l} \omega_i = 1 \\ P_{ei} = E_i^2 G_{ii} + \sum_{\substack{j=1 \\ j \neq i}}^n (E_i E_j B_{ij} \sin \theta_{ij} + E_i E_j G_{ij} \cos \theta_{ij}) = P_{mi} \\ Q_{ei} = ? \\ E_n = 1, \theta_n = 0 \\ \dot{E}'_i = E_i \angle \theta_i + jX'_{di} \dot{I}_i \\ i = 1, 2, \dots, n-1 \end{array} \right.$$

潮流方程  
求解可以得到平衡点（状态）

$$\left\{ \begin{array}{l} \omega_{ie} = 1 \\ \delta_{ie} \\ i = 1, 2, \dots, n-1 \\ \omega_{ne} = 1, \delta_{ne} = 0 \end{array} \right.$$

# 电力系统平衡点稳定性的工程背景

---

交流系统中大量**同步发电机并联运行**，使其均**保持同步**是系统正常运行的**基本条件**。电力系统处于**正常运行**状态下，该状态即系统的一个**平衡点（状态）**。

正常运行状态下的各个状态变量（**?**）的值即对应平衡状态的数值。如果没有干扰，状态不会随时间而发生变化，系统处于**相对静止**的状态。

## 2.3 电力系统一般数学模型及平衡点

### 电力系统的数学模型—复杂大系统

$$\begin{cases} \frac{d\bar{x}(t)}{dt} = \bar{f}(\bar{x}(t), \bar{y}(t)) \longleftrightarrow \boxed{\text{发电机等}} \\ \bar{g}(\bar{x}(t), \bar{y}(t)) = 0 \longleftrightarrow \boxed{\text{网络 - 代数(潮流)方程}} \end{cases}$$

电力系统的平衡状态:  $\boxed{(\bar{x}_e, \bar{y}_e)}$

满足 
$$\begin{cases} \bar{f}(\bar{x}_e, \bar{y}_e) = 0 \\ \bar{g}(\bar{x}_e, \bar{y}_e) = 0 \end{cases}$$

电力系统的平衡状态即一种  
**可行的稳态潮流状态。**



## 2.4 电力系统的干扰

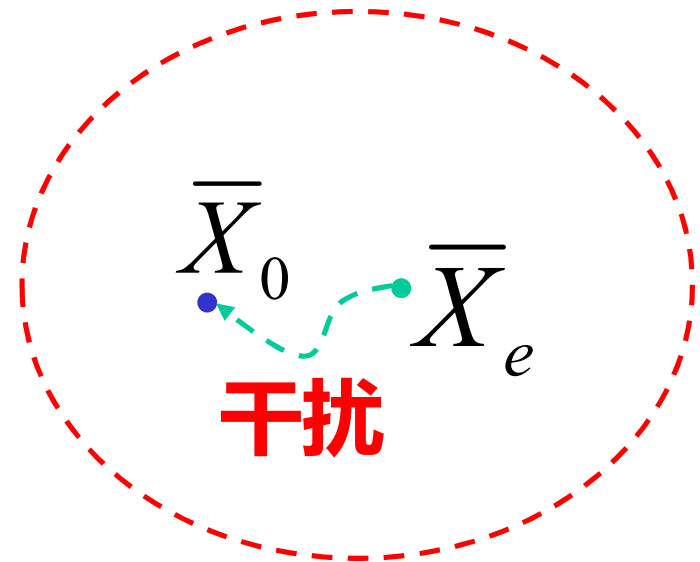
---

**小干扰：**

小负荷投入、发电机出力小幅度增加等等

**大干扰：**

各种故障、切除线路等等。

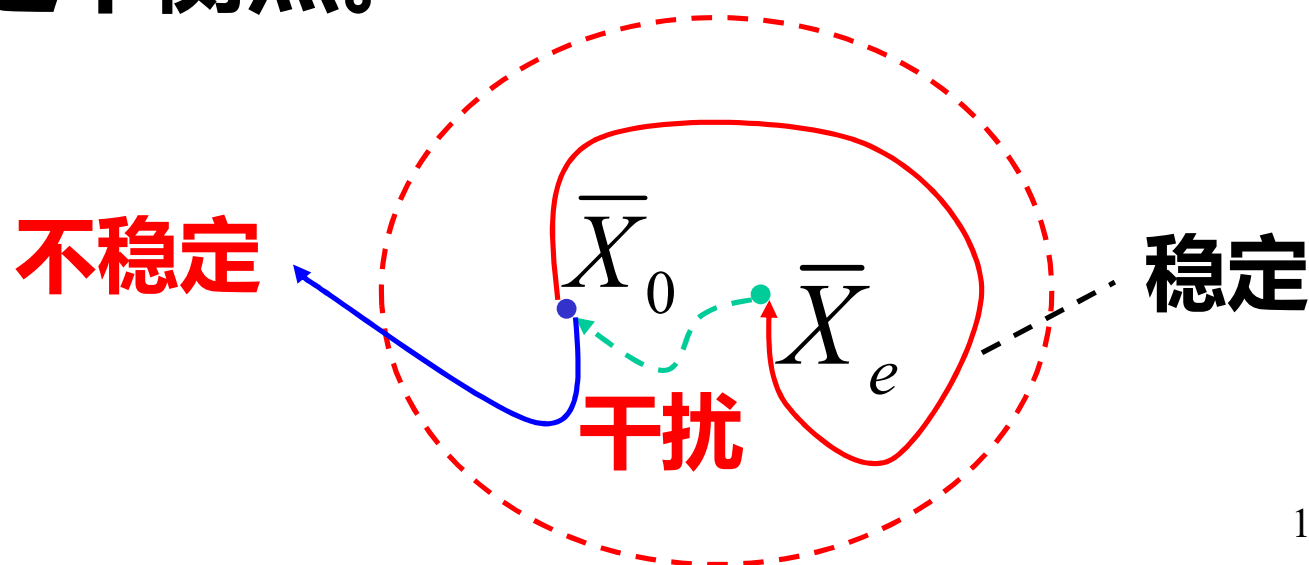


## 2.5 电力系统稳定性的基本含义

运行在**平衡状态**  $\bar{x}_e$  的系统，受**干扰**偏离  $\bar{x}_e$ ，到达  $\bar{x}_0$ ，干扰消除后，系统能否**回到**  $\bar{x}_e$ ？

**能** - 系统在  $\bar{x}_e$  对该干扰是**稳定的平衡点**；

**不能** - 不稳定平衡点。



## 2.6 电力系统稳定性的分类

---

### 1、按干扰的大小分：

**静态稳定** (Static Stability)

小干扰（理论上为无穷小干扰）后能否回到平衡点；

**暂态稳定** (Transient Stability)

大干扰后能否回到**原**（或新的可接受）平衡点，如可以称为暂态稳定，否则称为暂态不稳定。

## **2、按时间长短分：**

**短期稳定分析：**

**中期稳定分析：**

**长期稳定分析：**

## **3、按引起稳定问题的主要原因分：**

**功角稳定性：**

**频率稳定性：**

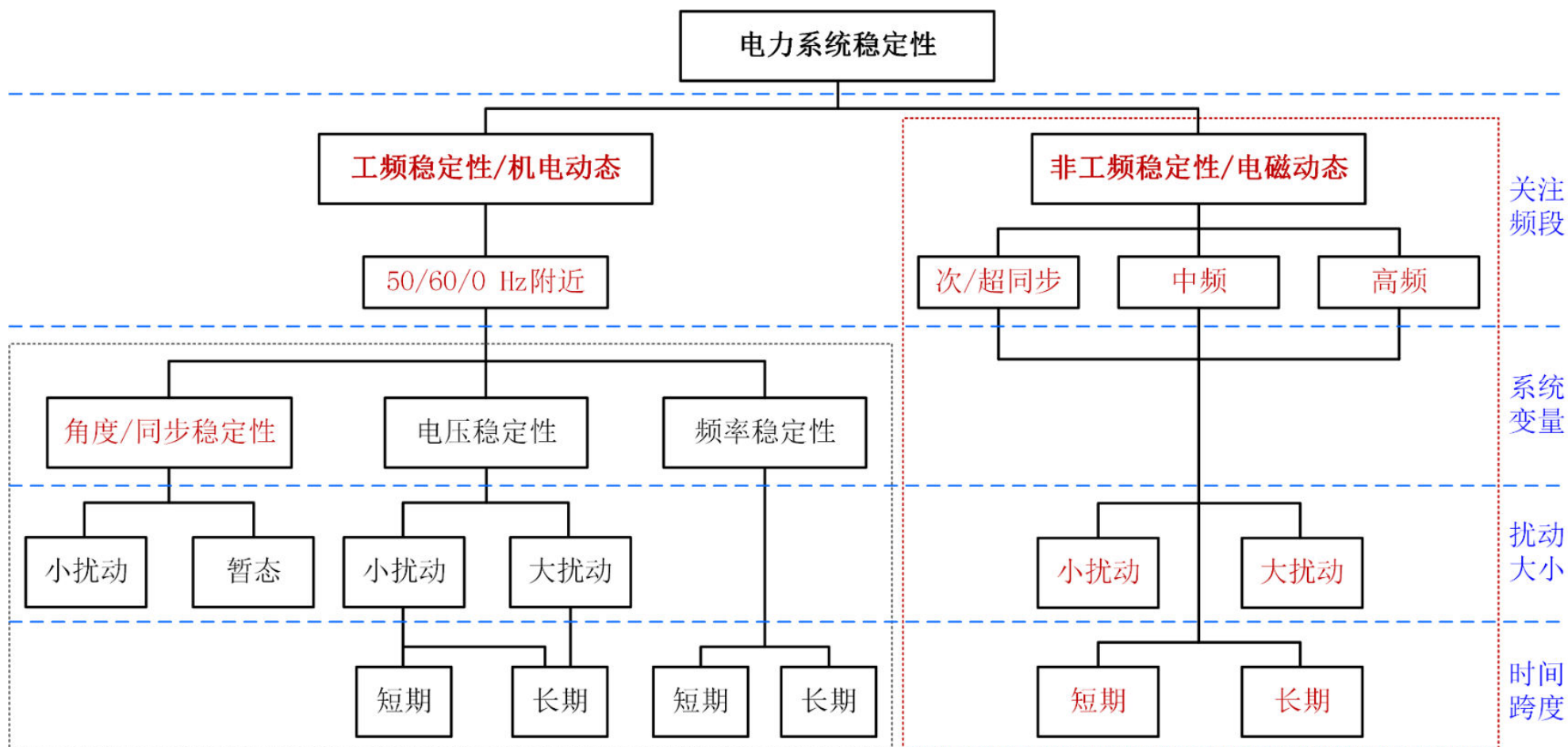
**电压稳定性：**

**负荷稳定性：**

# IEEE关于电力系统稳定性的分类



# 新型电力系统的稳定性分类—研究中



## 2.7 电力系统稳定性的分析方法

---

按求解方法分为：

**直接法：** 直接分析或根据能量函数估计

**时域仿真法：** 计算机时域仿真

根据干扰的大小采用不同的方法：

**静态稳定** - 将非线性方程在平衡点线性化，利用分析线性系统的方法如特征根分析稳定性 - 小干扰；

**暂态稳定** - 非线性方程，没有通用的方法，一般通过时域仿真分析或能量法分析 - 大干扰

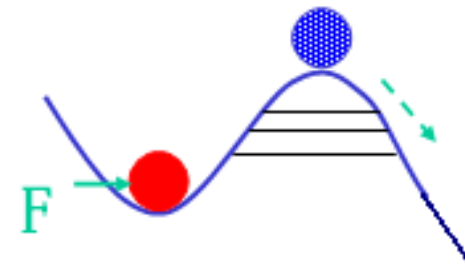
# §3 电力系统静态稳定的概念

## 一、静态(功角)稳定的定义

电力系统受到**小干扰**后维持同步运行状态的能力，即系统受到**小干扰偏离平衡点（微小不同步）**，**小干扰消除后**，系统**能否回到原有平衡点（恢复同步）**的能力。

问题：

- 多大的干扰为小干扰？
- 小干扰的类型？



小负荷的投入、切除；

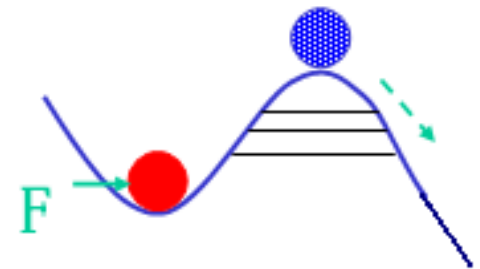
发电机**原动机出力** ( $P_m$ ) 的**轻微**变化



## 二、静态稳定分析的理论基础

如何分析**非线性**系统在平衡点经历**小干扰**后的稳定性？

$$\begin{cases} \frac{d\bar{x}(t)}{dt} = \bar{f}(\bar{x}(t)) \\ \bar{x}_e \text{ 为平衡点} \end{cases} \quad (1)$$



**(1) 按定义分析？--根本**

$$\bar{x}_e \xrightarrow{\text{小干扰}} \bar{x}_e + \Delta x \quad \begin{cases} \frac{d\bar{x}(t)}{dt} = \bar{f}(\bar{x}(t)) \\ \bar{x}(t_0) = \bar{x}_e + \Delta x \end{cases} \quad \bar{x}(t) \rightarrow ?(t > t_0)$$

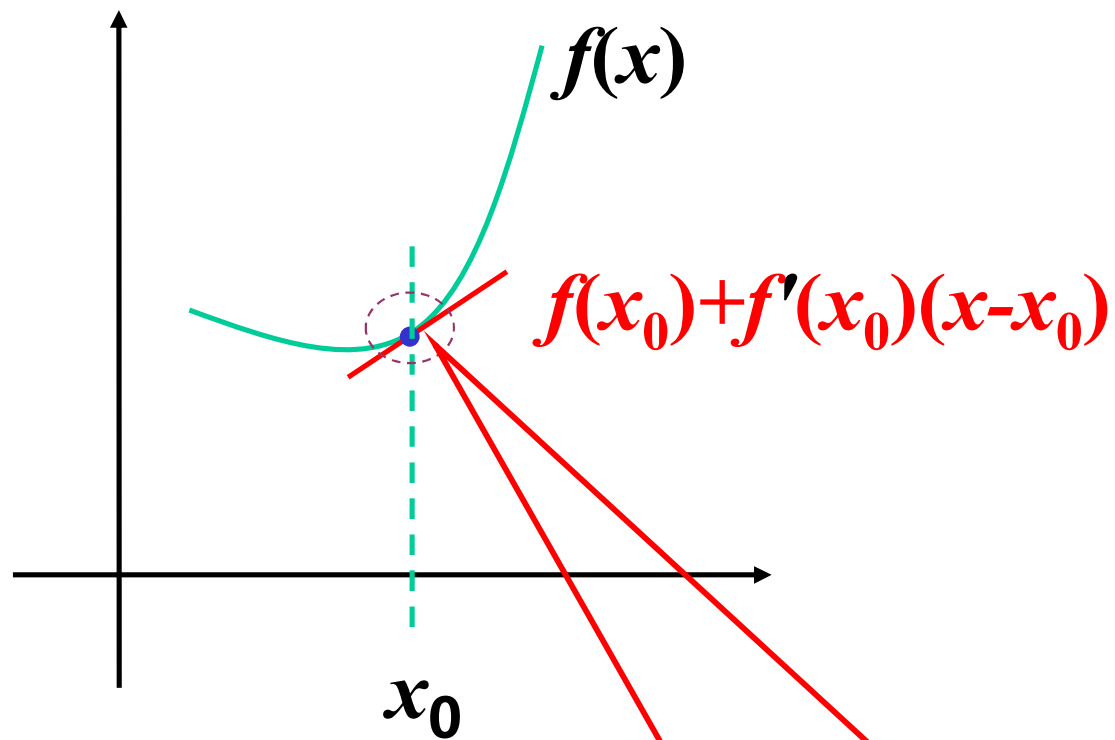
## (2) 利用李雅普诺夫稳定性理论分析

$$\left\{ \begin{array}{l} \frac{d\bar{x}(t)}{dt} = \bar{f}(\bar{x}(t)) \\ \bar{x}_e \text{ 为平衡点} \end{array} \right. \quad (1) \quad \xrightarrow{\text{平衡点线性化}} \quad \left\{ \begin{array}{l} \frac{d\Delta\bar{x}(t)}{dt} = \bar{A}\Delta\bar{x}(t) \\ \Delta\bar{x}(t) = \bar{x}(t) - \bar{x}_e \end{array} \right. \quad (2)$$

**李雅普诺夫第一定理：**

如果 (2) 的特征根实部全为负，则 (2) 稳定，对应 (1) 在该平衡点静态稳定；若 (2) 特征根至少有一个实部为正，则 (2) 不稳定，对应 (1) 在该平衡点静态不稳定。其它情况？

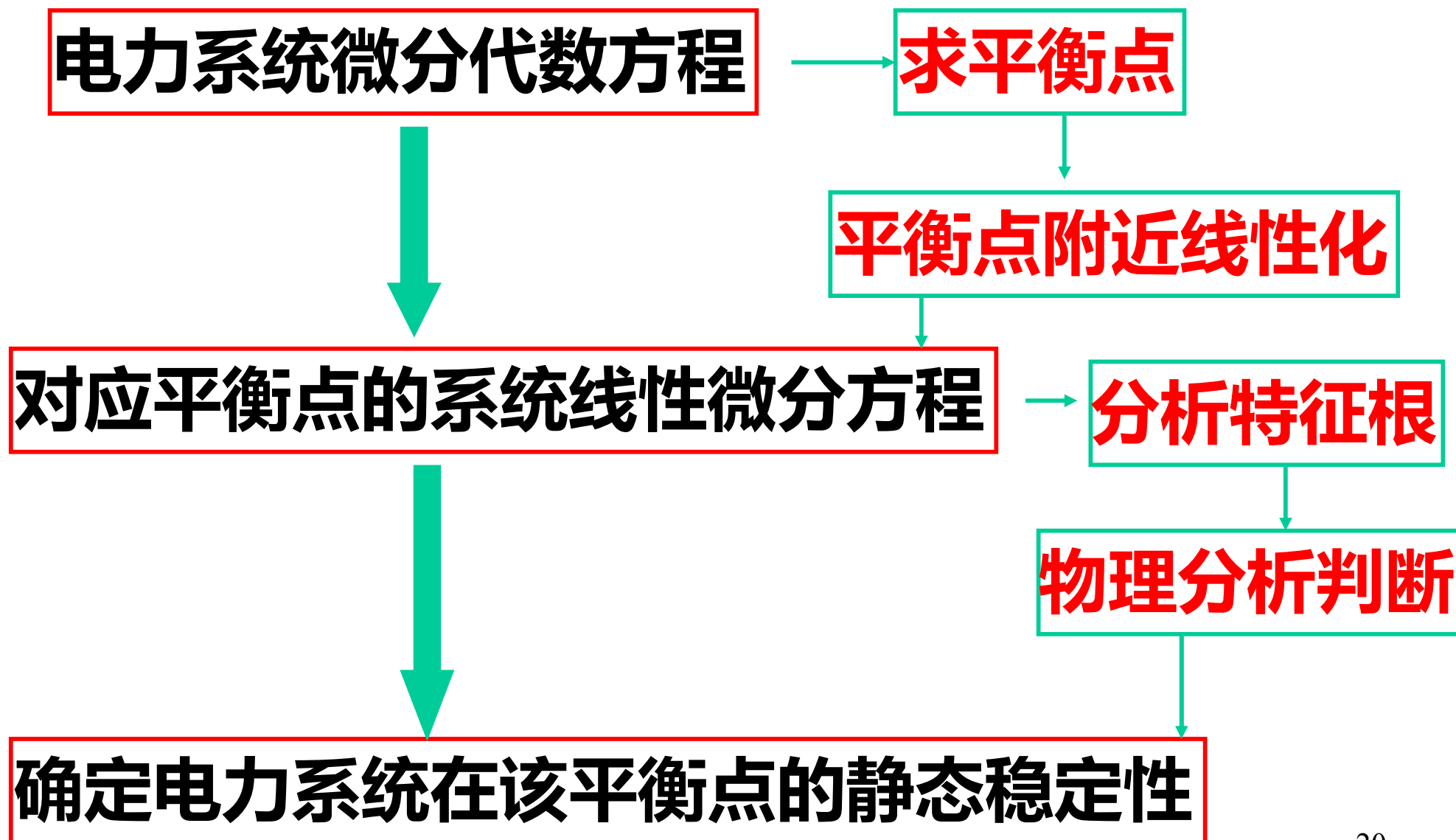
# 非线性系统一点线性化的示意图



在圆圈内以红线代替  
绿线！

### 三、静态稳定的一般分析方法

---



# §4 电力系统静态稳定分析

## 一、静态稳定分析的步骤

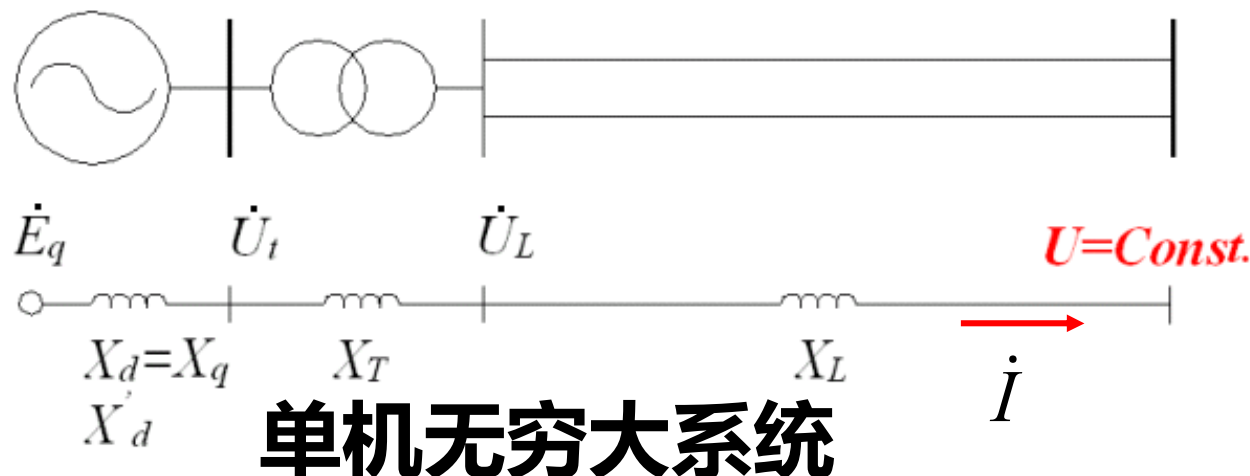
---

- 1、建立系统数学模型；
- 2、求平衡点(潮流计算，再求发电机内部状态量？)；
- 3、非线性数学模型在平衡点线性化，得出线性的数学模型；
- 4、分析线性模型稳定性，得出原系统静态稳定性。

## 二、单机无穷大系统静态稳定分析

### --小干扰下系统的物理响应过程分析

隐极机



$$\begin{cases} \frac{d\delta}{dt} = (\omega - 1)\omega_0 \\ T_J \frac{d\omega}{dt} = P_m - P_e \\ \dot{E}_q = \dot{U}_t + jX_q \dot{I} = \dot{U} + jX_{q\Sigma} \dot{I} \end{cases}$$

$P_e$ 要用状态变量表示!

有多种形式的功角方程, 用哪个?

假设:

1、励磁电流  $i_f$  不变,  $E_q = E_{q0}$

2、调速器不起作用  $P_m = P_0$

$$X_{d\Sigma} = X_{q\Sigma} = X_T + X_L + X_d$$

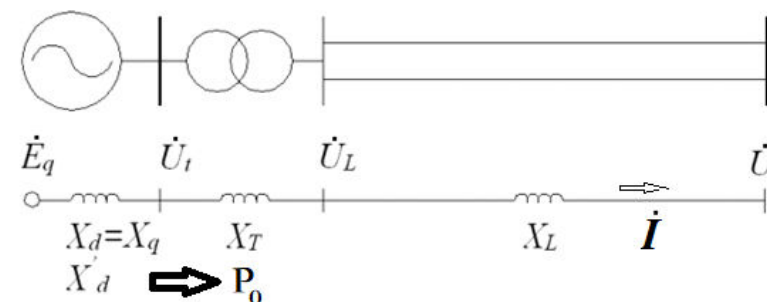
# 建立整个系统的数学模型

励磁电流  $i_f$  不变:  $E_q = X_{ad} i_f = \text{const.}$

发电机的功角特性:  $P_e \equiv P_{E_q} = \frac{E_q U}{X_{d\Sigma}} \sin \delta$

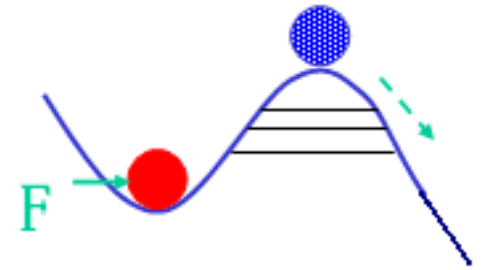
## 系统模型

$$\begin{cases} \frac{d\delta}{dt} = (\omega - 1)\omega_0 \\ T_J \frac{d\omega}{dt} = P_m - P_{E_q} = P_0 - \frac{E_q U}{X_{d\Sigma}} \sin \delta \\ \dot{E}_q = \dot{U} + jX_{d\Sigma} \dot{I} \\ \dot{U} = 1.0 \angle 0^\circ, E_q = \text{const.} \end{cases}$$



潮流计算, 可计算  
电流  $I$  及其滞后无  
穷大电压的相角  $\varphi$

# 求系统的平衡点



$$\begin{cases} \frac{d\delta}{dt} = 0 \\ \frac{d\omega}{dt} = 0 \end{cases} \xrightarrow{\text{解出}} \begin{cases} \omega = 1 \\ \frac{E_q U}{X_{d\Sigma}} \sin \delta = P_0 \end{cases}$$

**求出平衡点（只列出状态变量）为：**

$$(a) \begin{cases} \omega_a = 1 \\ \delta_a = \sin^{-1} \frac{P_0 X_{d\Sigma}}{E_q U} \end{cases}, (b) \begin{cases} \omega_b = 1 \\ \delta_b = \pi - \sin^{-1} \frac{P_0 X_{d\Sigma}}{E_q U} \end{cases}$$

**两个平衡点！（一般规定  $0 \leq \delta \leq \pi$ ）**



# 分析平衡点在小干扰下是否稳定

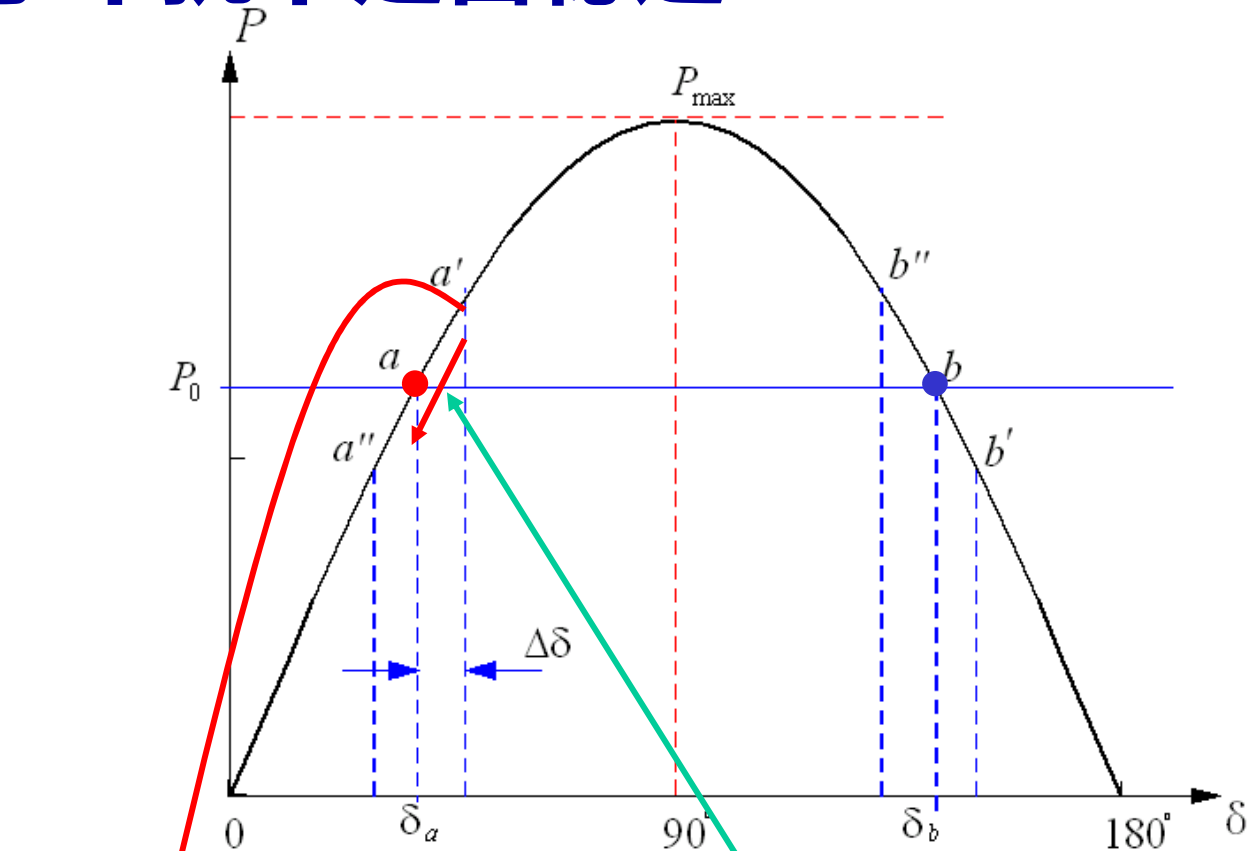
平衡点a

小干扰( $\Delta\delta > 0$ )

$\delta_a \longrightarrow \delta_a + \Delta\delta$

a点  $\dashrightarrow$  a'点

由于  $\delta_a + \Delta\delta < 90^\circ \therefore P_{E_q} = \frac{E_q U}{X_{d\Sigma}} \sin(\delta_a + \Delta\delta) > P_0 = P_m$



$$T_J \frac{d\omega}{dt} < 0 \xrightarrow{\omega=1} \omega \downarrow \xrightarrow{\omega < 1} \delta \downarrow \text{回摆}$$

→ **a点**  $\frac{d\omega}{dt} = 0, \omega < 1$

→  $\delta \downarrow$  **越过a点**

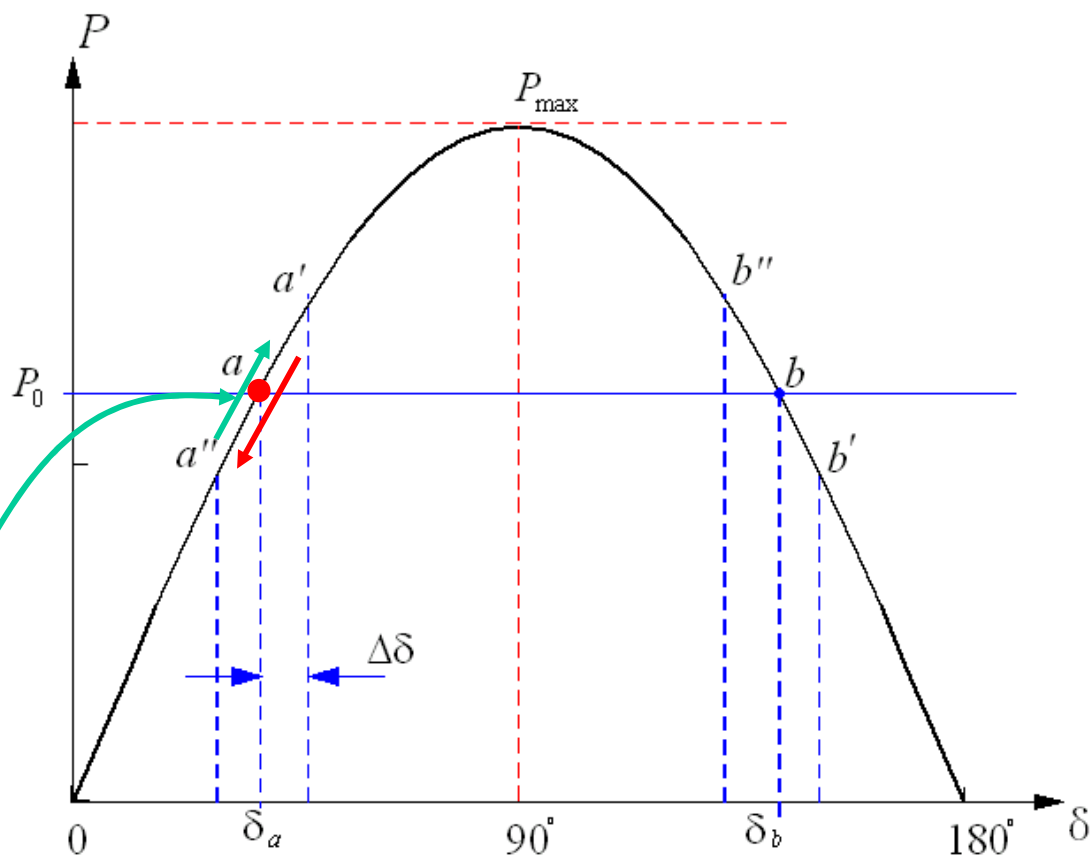
$$P_{E_q} < P_0, \frac{d\omega}{dt} > 0$$

$\omega < 1$  →  $\omega \uparrow$  **到a'时  $\omega = 1$**   
**转子角停止减小**

$$P_{E_q} < P_0, \frac{d\omega}{dt} > 0$$

→  $\omega \uparrow$  →  $\delta \uparrow$   
 $\omega > 1$

**在忽略阻尼情况下，  
加速过程持续到a'点**



小干扰( $\Delta\delta < 0$ )

$$\delta_a \longrightarrow \delta_a + \Delta\delta$$

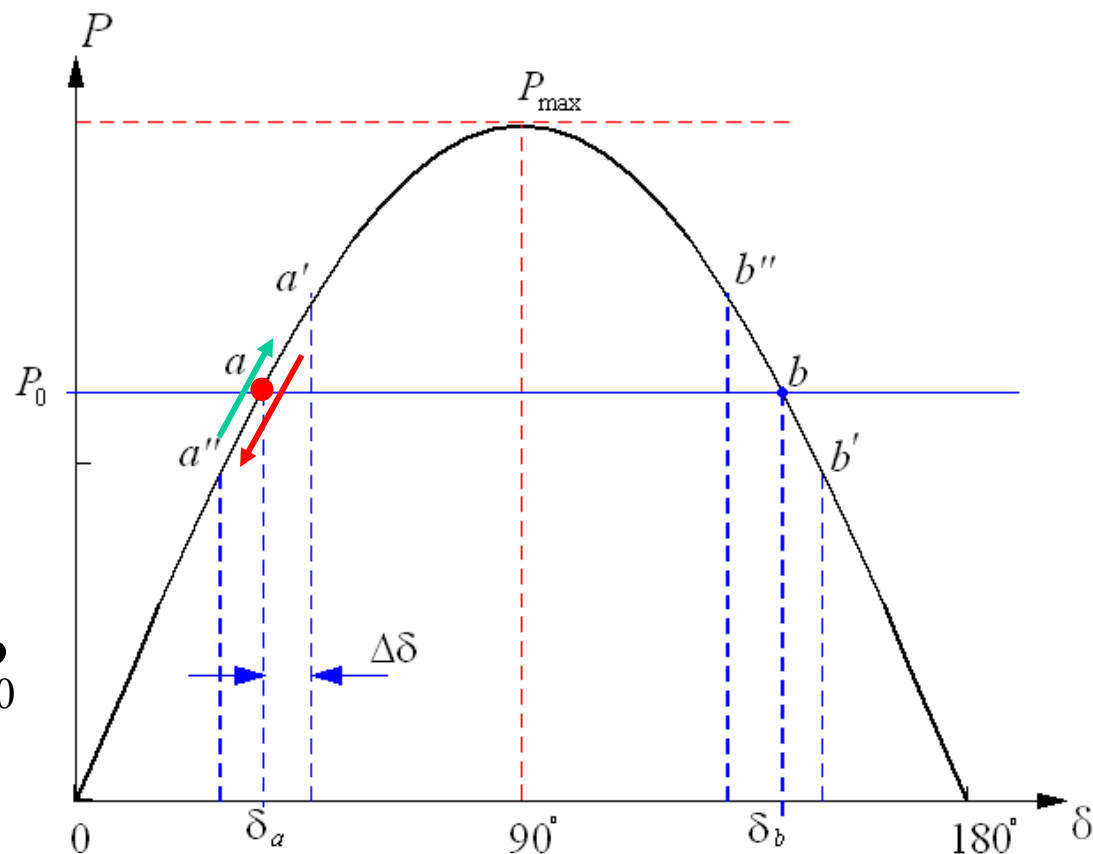
a点  $\xrightarrow{\omega=1}$  a''点

由于  $\delta_a + \Delta\delta < 90^\circ$

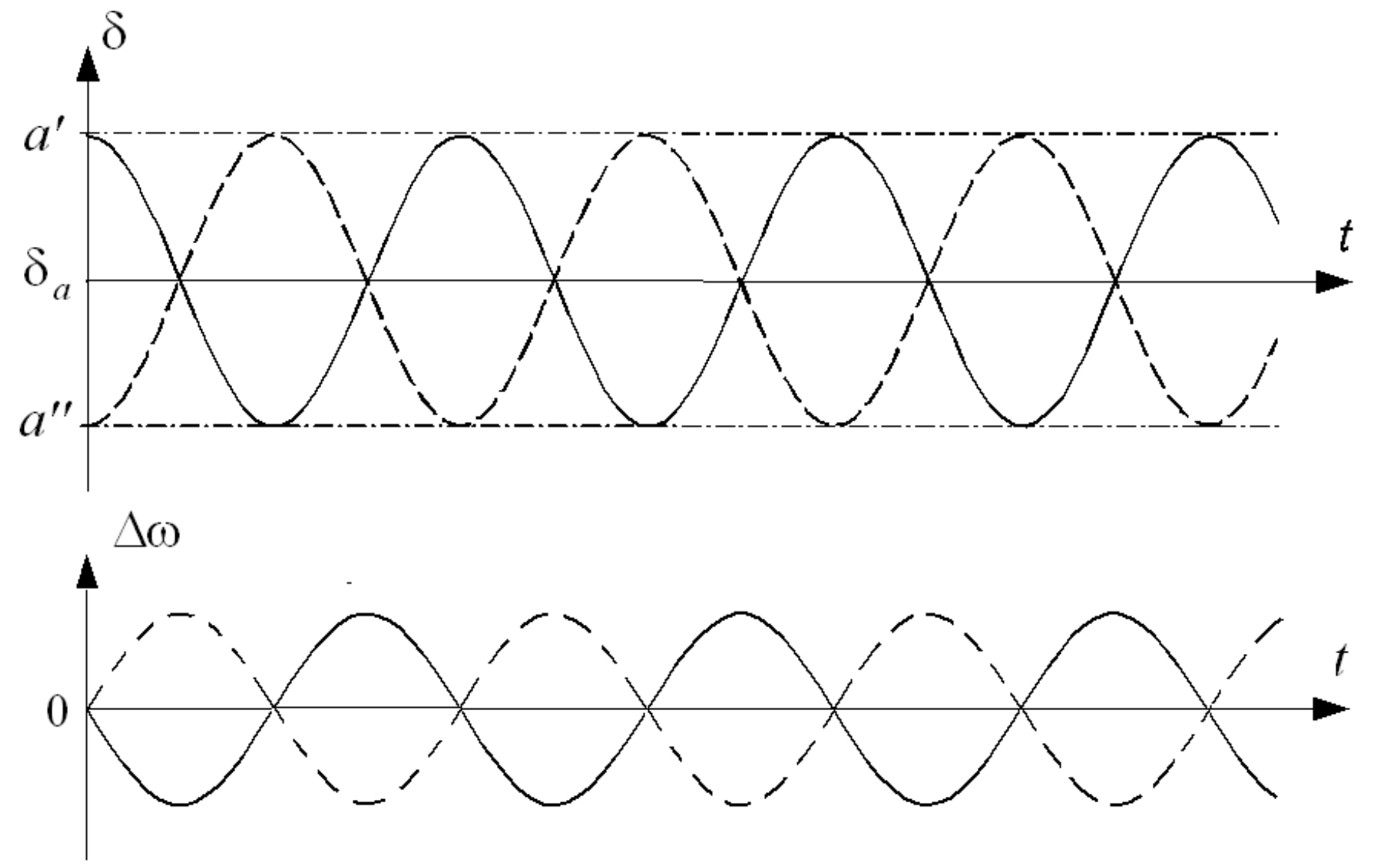
$$\begin{cases} P_{E_q} = \frac{E_q U}{X_{d\Sigma}} \sin(\delta_a + \Delta\delta) < P_0 \\ \frac{d\omega}{dt} > 0 \end{cases}$$

$\xrightarrow{\omega > 1} \delta \uparrow \longrightarrow$  a点  $\frac{d\omega}{dt} = 0, \omega > 1 \longrightarrow \delta \uparrow P_{E_q} > P_0, \frac{d\omega}{dt} < 0$

$\longrightarrow$  a'点  $\frac{d\omega}{dt} < 0, \omega = 1 \xrightarrow{\omega < 1} \delta \downarrow \longrightarrow$  a''点  $\longrightarrow \dots$

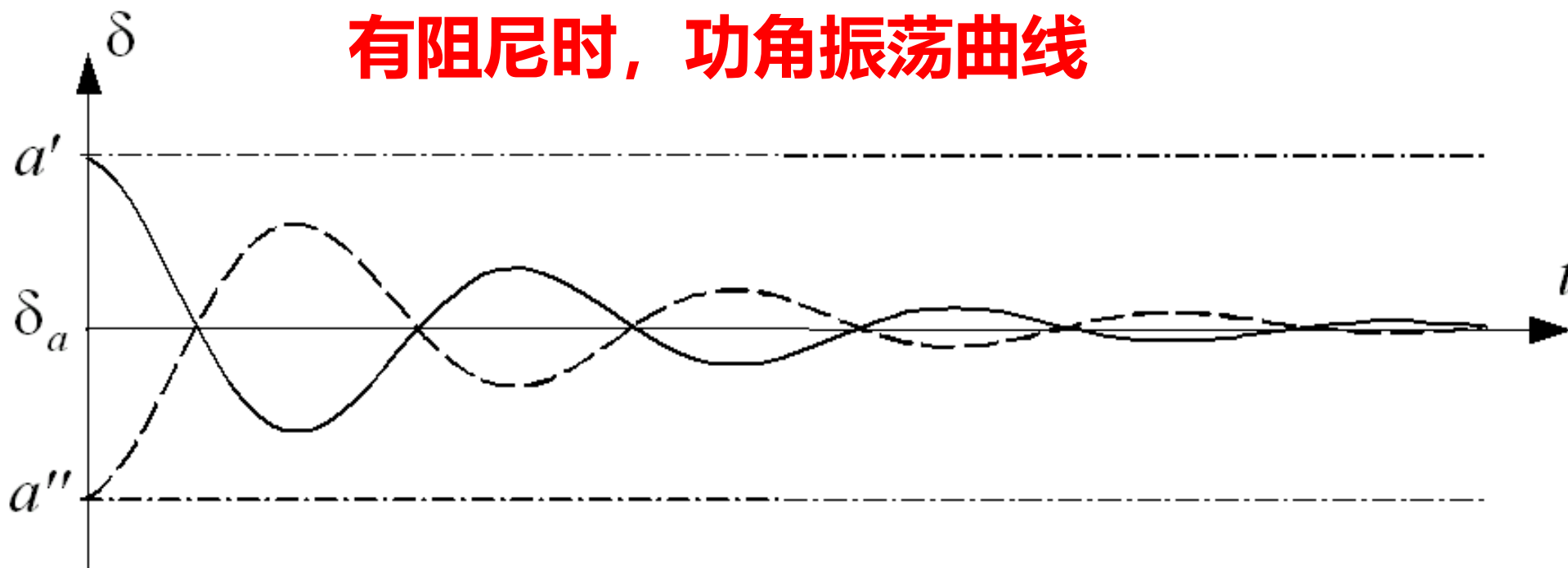


# 无阻尼时，功角、转速振荡曲线



## 转子存在阻尼时 - 衰减振荡

有阻尼时，功角振荡曲线



对于**平衡点a**，受到小干扰后偏离**a点**，干扰消除后系统最终又回到**a点**，是**稳定平衡点**！

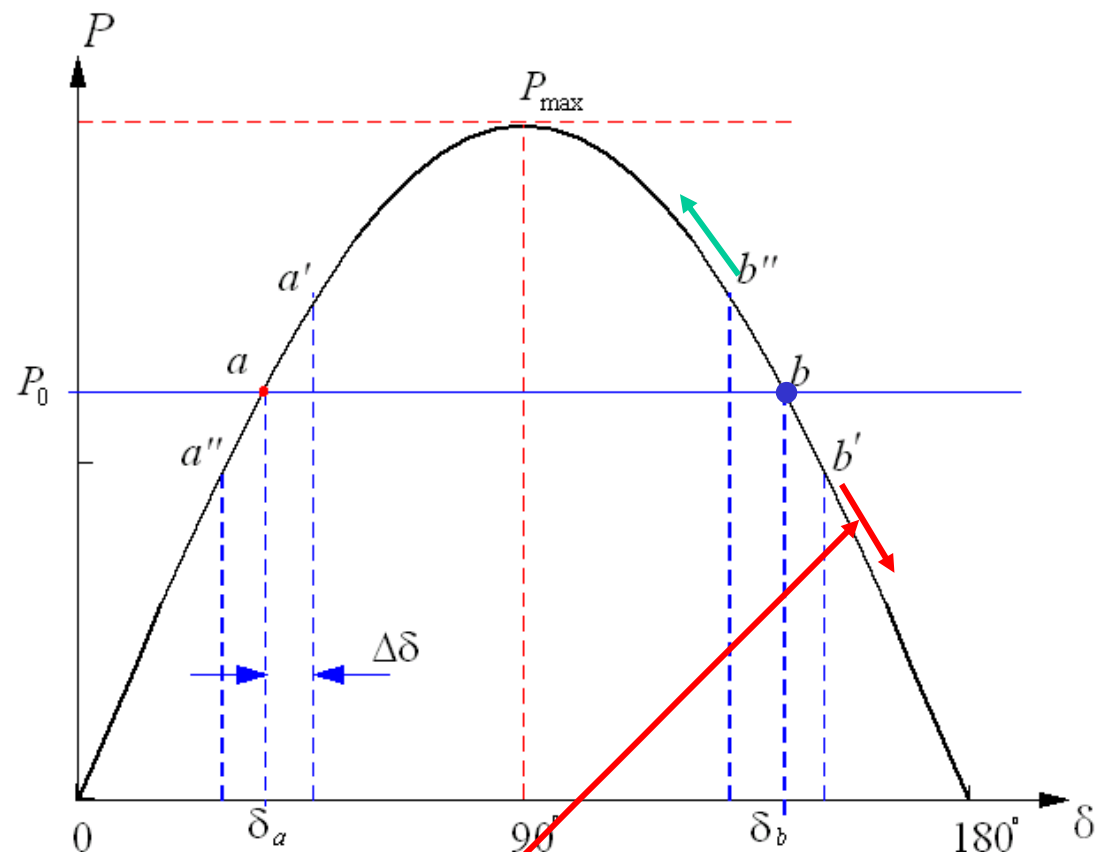
**平衡点b**

**小干扰( $\Delta\delta > 0$ )**

$\delta_b \longrightarrow \delta_b + \Delta\delta$

**b点**  $\dashrightarrow$  **b'点**

**由于  $\delta_b + \Delta\delta > 90^\circ$**



$$P_{E_q} = \frac{E_q U}{X_{d\Sigma}} \sin(\delta_b + \Delta\delta) < P_0$$

$$\frac{d\omega}{dt} > 0$$

$$\omega = 1$$

$\omega \uparrow$   $\omega > 1$

$\delta \uparrow$

**远离b点**

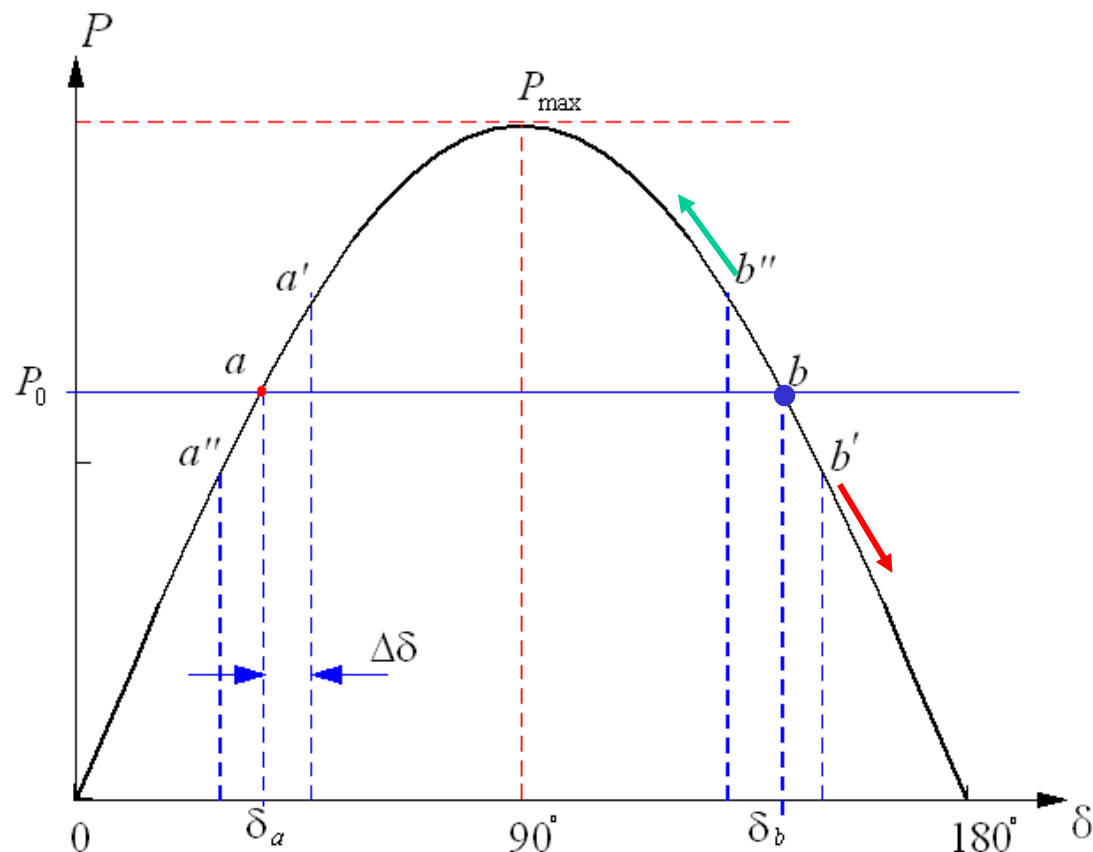
**b点为不稳定平衡点!**

小干扰( $\Delta\delta < 0$ )

$$\delta_b \longrightarrow \delta_b + \Delta\delta$$

b点  $\dashrightarrow$  b''点

由于  $\delta_b + \Delta\delta > 90^\circ$



$$P_{E_q} = \frac{E_q U}{X_{d\Sigma}} \sin(\delta_b + \Delta\delta) > P_0$$

**b点为不稳定平衡点!**

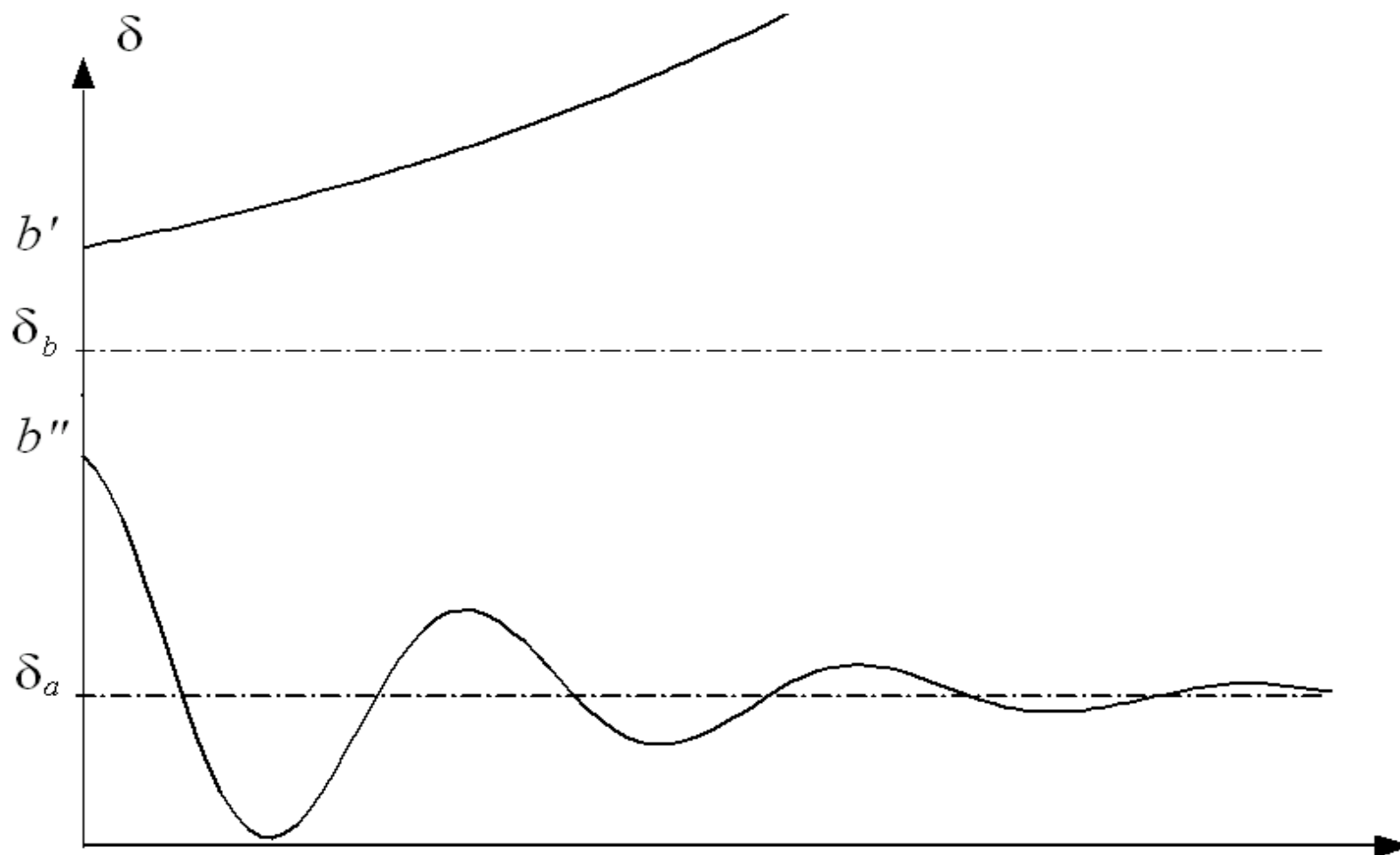
$$\frac{d\omega}{dt} < 0$$

$$\omega = 1$$

$$\omega \downarrow \xrightarrow{\omega < 1} \delta \downarrow$$

**远离b点,最后回到a点  
(为什么?)**

## 有阻尼时，功角变化曲线



对于平衡点**b**，受到小干扰后偏离**b**点，干扰消除后远离**b**点，是不稳定平衡点！



# 三、单机无穷大系统的静态稳定判据

两个平衡点：平衡点a（稳定）、平衡点b（不稳定）

特点:

$\delta \uparrow$  即  $\Delta\delta > 0$ ,  $P_E \uparrow$  即  $\Delta P_E > 0$

$\delta \downarrow$  即  $\Delta\delta < 0$ ,  $P_E \downarrow$  即  $\Delta P_E < 0$

$$\Delta P_E = P_E - P_0 \quad \boxed{\frac{\Delta P_E}{\Delta\delta} > 0}$$

电功率与功角同方向变化使功角的变化趋势被抑制，系统有能力维持当前的工作点。

$\delta \uparrow$  即  $\Delta\delta > 0$ ,  $P_E \downarrow$  即  $\Delta P_E < 0$

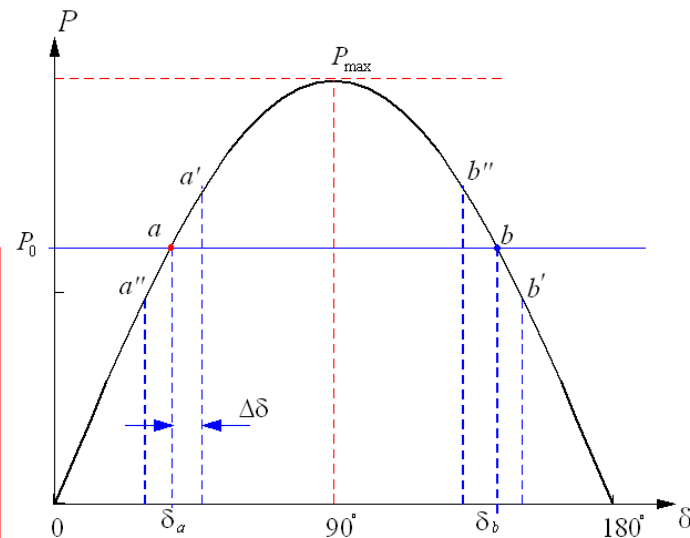
$\delta \downarrow$  即  $\Delta\delta < 0$ ,  $P_E \uparrow$  即  $\Delta P_E > 0$

$$\boxed{\frac{\Delta P_E}{\Delta\delta} < 0}$$

电功率与功角反方向变化使功角的变化趋势被加强，系统无法维持当前的工作点。

# 静态稳定判据

$$\begin{aligned}\Delta P_E &= P_{E_q} - P_0 = P_{E_q}(\delta) - P_{E_q}(\delta_a \text{ or } \delta_b) \\ &= \left. \frac{dP_{E_q}}{d\delta} \right|_{\delta=\delta_a \text{ or } \delta_b} \cdot \Delta\delta + O(\Delta\delta^2)\end{aligned}$$



$$\Delta\delta \rightarrow 0 \quad (\text{对应无穷小干扰}) , \quad \frac{\Delta P_E}{\Delta\delta} \rightarrow \frac{dP_{E_q}}{d\delta}$$

令

$$S_{E_q} = \frac{dP_{E_q}}{d\delta}$$

**$S > 0$ 时，系统在该点是静态稳定的；**  
 **$S < 0$ 时，系统在该点是静态不稳定的。**

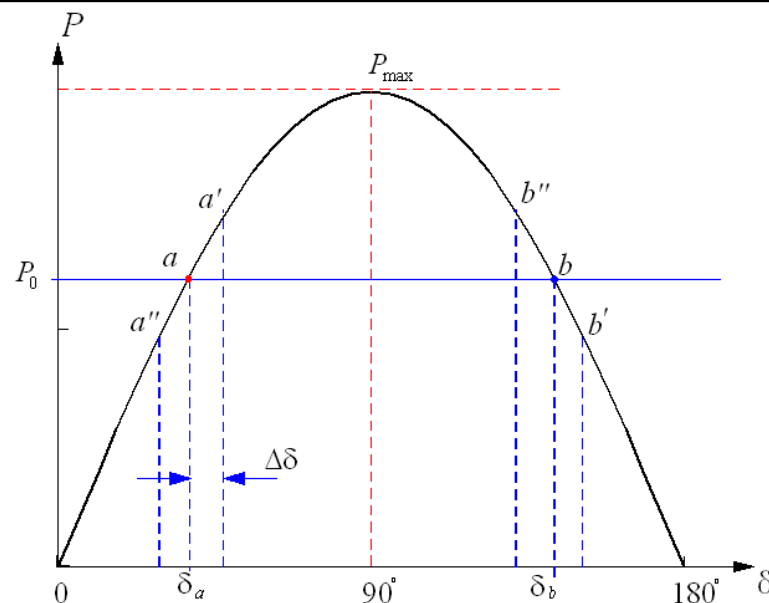
$$S_{E_q} = \frac{E_q U}{X_{d\Sigma}} \cos \delta$$

称为 $E_q$ 恒定时的**同步功率系数**。  
 越大，发电机稳定程度越高；  
 $< 0$ ，发电机不能稳定运行。

## 四、静态稳定储备系数

$$\delta = 90^\circ, S_{E_q} = 0$$

系统处在稳定与不稳定的分界点，称为静态稳定**极限点**，对应角度为静态稳定**极限角**，对应的 **$P_{max}$** 为系统的**极限功率**。



### 静态稳定储备系数

$$K_p = \frac{P_{\max} - P_0}{P_0} \times 100\%$$

$K_p$ 越大， $P_0$ 离 $P_{max}$ 越远，裕度越大，发电机越易稳定。

## 五、提高发电机静态稳定的措施

系统的静态稳定储备系数 $K_P$ 越大，静态稳定性越好。

$$K_P = \frac{P_{\max} - P_0}{P_0} = \frac{P_{\max}}{P_0} - 1 \quad P_{\max} = \frac{E_q U}{X_{d\Sigma}}$$

增加 $E_q$ ，增加 $U$ ，减小 $X_{d\Sigma}$ ，降低发电机出力即减小 $P_0$ 均可提高系统静态稳定性。

具体措施：

- 1、提高系统电压；
- 2、提高发电机内电势（采用强有力的励磁控制）；
- 3、减小线路电抗，如采用串联电容补偿？。

...

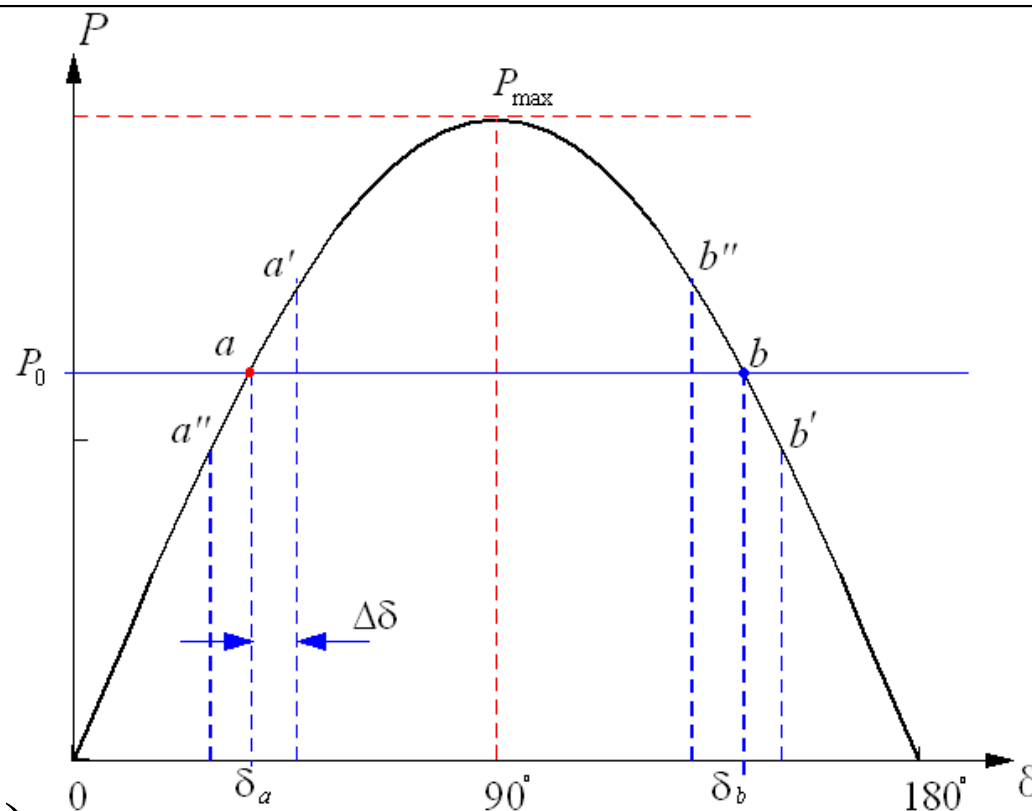
# 六、系统静态稳定的特征根分析方法

对于平衡点a

$$(a) \begin{cases} \omega_a = 1 \\ \delta_a = \sin^{-1} \frac{P_0 X_{d\Sigma}}{E_q U} \end{cases}$$

方程在其附近为：

$$\begin{cases} \frac{d(\delta_a + \Delta\delta)}{dt} = (\omega_a + \Delta\omega - 1)\omega_0 \\ T_j \frac{d(\omega_a + \Delta\omega)}{dt} = P_0 - \frac{E_q U}{X_{d\Sigma}} \sin(\delta_a + \Delta\delta) \end{cases}$$



线性化

$$\begin{cases} \frac{d\Delta\delta}{dt} = \Delta\omega\omega_0 \\ T_j \frac{d\Delta\omega}{dt} = P_0 - \frac{E_q U}{X_{d\Sigma}} \sin(\delta_a + \Delta\delta) \approx - \frac{E_q U}{X_{d\Sigma}} \cos \delta_a \cdot \Delta\delta \end{cases}$$

$S_{E_q}(\delta_a) > 0$

$\frac{E_q U}{X_{d\Sigma}} \cos \delta_a$

**最后的线性方程**

$$\begin{cases} \frac{d\Delta\delta}{dt} = \omega_0 \cdot \Delta\omega \\ \frac{d\Delta\omega}{dt} = - \frac{S_{E_q}(\delta_a)}{T_j} \cdot \Delta\delta \end{cases}$$

**系数矩阵**

$$A = \begin{bmatrix} 0 & \omega_0 \\ -\frac{S_{E_q}(\delta_a)}{T_j} & 0 \end{bmatrix}$$

**特征方程**

$$\lambda^2 + \frac{S_{E_q}(\delta_a)\omega_0}{T_j} = 0$$

# 线性化微分方程的特征根

因  $S_{E_q}(\delta_a) > 0$  故  $\lambda_1 = j\sqrt{\frac{S_{E_q}(\delta_a)\omega_0}{T_j}}$ ,  $\lambda_2 = -j\sqrt{\frac{S_{E_q}(\delta_a)\omega_0}{T_j}}$

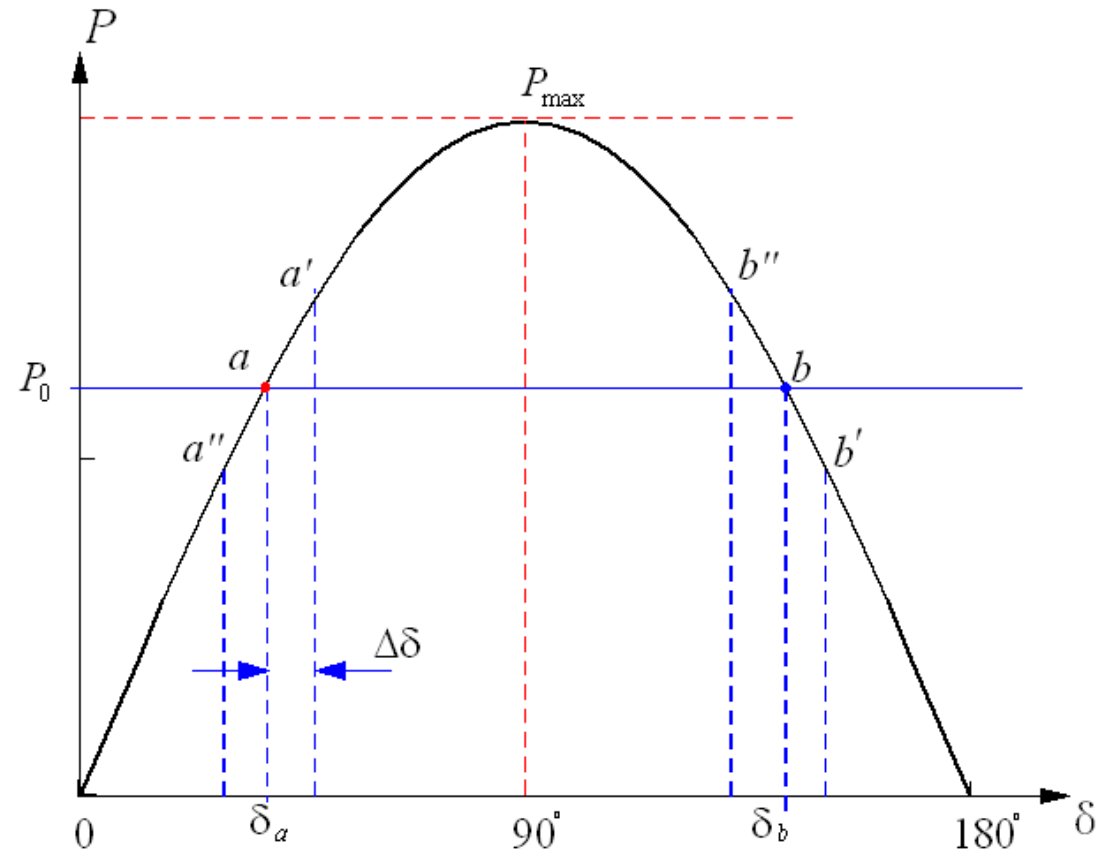
为一对**共轭虚根**！

平衡点受到小干扰后，系统振荡不停，但实际转子存在阻尼，因此振荡必然衰减，系统最终回到平衡点。故**平衡点a为稳定平衡点**。

对于平衡点b

$$(b) \begin{cases} \omega_b = 1 \\ \delta_b = \pi - \sin^{-1} \frac{P_0 X_{d\Sigma}}{E_q U} \end{cases}$$

方程在其附近线性化为:



$$\begin{cases} \frac{d\Delta\delta}{dt} = \Delta\omega\omega_0 \\ T_j \frac{d\Delta\omega}{dt} = - \frac{E_q U}{X_{d\Sigma}} \cos \delta_b \cdot \Delta\delta \end{cases}$$

$$S_{E_q}(\delta_b) < 0$$

特征方程

$$\lambda^2 + \frac{S_{E_q}(\delta_b)\omega_0}{T_j} = 0$$



# 线性化微分方程的特征根

因  $S_{E_q}(\delta_b) < 0$  故

$$\lambda_1 = \sqrt{\frac{-S_{E_q}(\delta_b)\omega_0}{T_j}} > 0, \lambda_2 = -\sqrt{\frac{-S_{E_q}(\delta_b)\omega_0}{T_j}}$$

$\lambda_1 > 0$ ，因此平衡点受到小干扰后，系统是不稳定的。故平衡点b为不稳定平衡点。

# 作业

1、单机无穷大系统，发电机为凸极机，试用特征根分析方法给出 $E_q$ 不变时系统静态稳定的判据及表达式。

2、单机无穷大系统模型如下，试用特征根分析方法分析阻尼系数D对静态稳定性的影响。

$$\begin{cases} \frac{d\delta}{dt} = (\omega - 1)\omega_0 \\ T_J \frac{d\omega}{dt} = P_0 - \frac{E_q U}{X_{d\Sigma}} \sin \delta - D \frac{d\delta}{dt} \quad (D \text{ 为常数-阻尼系数, 可正、负、零}) \\ \dot{E}_q = \dot{U} + jX_{d\Sigma} \dot{I} \\ \dot{U} = 1.0 \angle 0^\circ, E_q = \text{const.} \end{cases}$$

3、图3.1为光伏发电系统示意图，图3.2为光伏阵列发出有功功率 $P_{PV}$ 与直流电压的关系， $P_{load}$ 为逆变器直流侧输入的功率（为常数）。试分析系统在平衡点A和B的静态稳定性。

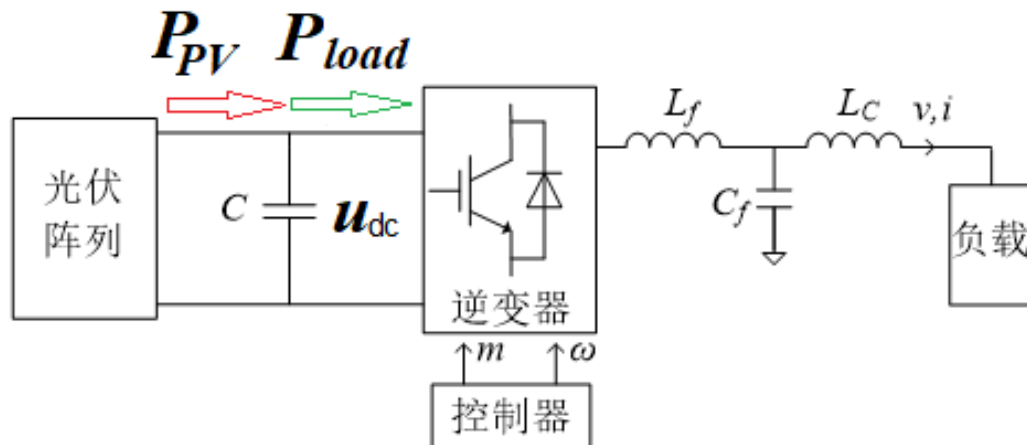


图3.1

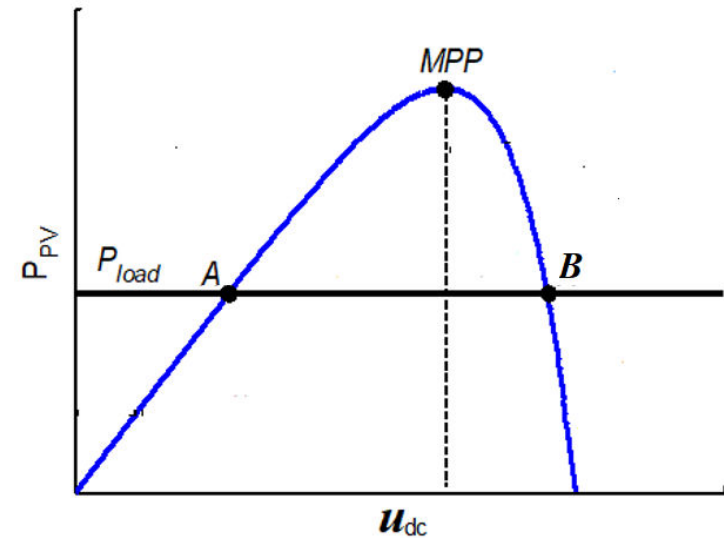


图3.2

**研讨题：**回顾同步发电机的惯性时间常数，并探讨光伏电源是否存在类似的惯性时间常数，进而比较两种电源对系统频率动态特性影响的差异。